

京大防災研究所 正員 宇民 正

## □ 概説

円柱前面で水路床近傍の流れは三次元的かつ時間的に変動する特異な流速パターンを示す。このような流れの局所的な機構が橋脚周辺の洗掘に及ぼす影響は大きいと予想される。本報告では現象を Flow Visualization 法などにより三次元的に把握し、それに基づいて得られた流れの特性に従って流れの領域区分を行ない、流れのモデル化を試みる。

## □ 実験結果について

実験水路は幅 40 cm であり、その中央に直径 10 cm の円柱を設置した。水路壁は透明アクリル製で、それを通して水路の外側から観測できるようになっている。流量は 5.90 l/s、水深は円柱周囲ではなく一定で 12.05 cm、主流平均流速は 12.2 cm/s である。

(1) Flow Visualization 法による流況観測 粒径 1~2 mm のトレーサーをストロボ照明の下に写真撮影し、円柱前面水路床近傍で直徑数 mm ~ 数 cm の水平軸をもつ渦が観測された。図-1 は渦の直徑  $2r$  と円柱の直徑  $d$  の比を渦の回転周期  $T$  に関係づけたものである。

図中○印は円柱と底面に接してかつて円柱をとりまく幅 2~3 cm の領域（以後 A 領域とよぶ）における渦を示し、●印はその領域の外側（B 領域とよぶ）における渦を示す。図から A 領域では渦中の流

体実質部分の回転半径はその回転周期にほぼ比例すると認められ、したがって回転方向流速成分は  $U_r = 2\pi r/T = \text{一定} = 7.6 \text{ cm/s}$  となる。一方 B 領域では周期の大小にかかわらず可視化された渦の直徑はほぼ一定で、平均 5.2 mm 程度であることがわかる。つきに図-2 は渦内の流体実質部分

が円柱の中心軸の周囲をまわる角速度  $\omega$  と円柱の軸のまわりの角速度  $\theta$  (度/s) の関係を示す。この図から A 領域の渦の角速度は角度  $\theta$  の増加と共に増加することが認められるが、B 領域では円柱の軸のまわりの回転角速度はかなりばらついたものとなっている。図-3 は多くの写真で観測されたこれら渦中の流体実質部分の流向こうじ、底面の近く近傍のものを同一紙面上に描いたものであり、また図中の点線は円柱前面の水路床近傍に染料を注入したときそれが拡散す

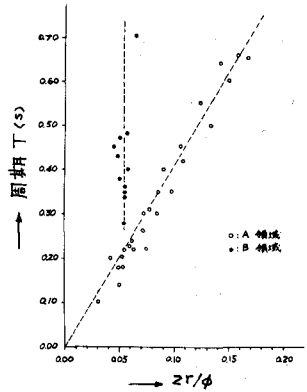


図-1 渦内トレーサーの回転直徑と回転周期との関係

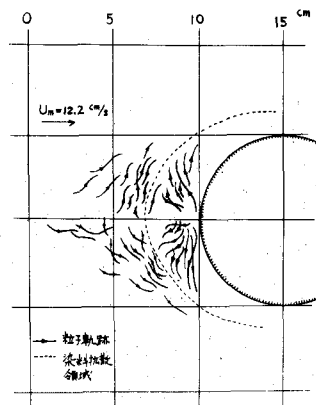


図-2 円柱の軸のまわりの回転角速度  $\theta$  (度/s) と円柱の軸のまわりの角速度  $\omega$  (度/s) の関係

3領域を示している。これより、染料の拡散領域が上述のA領域に相当する事が明らかであり、A領域とB領域とでは渦軸の方に向かう規則性、および渦の大きさにおいて明確な相異が認められる。またA領域の渦の実質部分は円柱前面の流れのどの部分から供給されるかという問題が提出される。つぎに図-4は発生した渦中の実質部分の回転直径とθとの関係であり、これからA領域内の渦の最大直径は円柱前面( $\theta=0$ )で約2~3cmである。そこから流下するにつれて減少することがわかる。つきに染料を円柱の上流側から注入してその拡散の状態を観測した。図-5における3座標系において $x=-10\text{ cm}$ ,  $y=0\text{ cm}$ の地点で染料注入口を水路床の高さから除々に上げて行くと、注入口が河床に近づくときは染料はかならずA領域内に渦にまきこまれることが認められるが、河床から2~3cmの高さでは染料は渦にまきこまれることもあり、また注入口と平行同じ高さのまま流下したり、あるいは円柱表面に沿って上方へ拡散したりする事が認められた。これからA領域の上限は河床から2~3cmであると考えられる。また $x=-10\text{ cm}$ ,  $y=-1\text{ cm}$ の点に注入口をおくと、河床近傍1cm以内では染料は円柱に近づかず、図-3に示される点線の外側を流れることが認められた。しかし注入口が約1.5cmになると、染料の拡散域が円柱に接する事が認められた。これらのことからA領域は渦の流体実質部分の供給源は円柱の直前面で一定で限られた部分であると推察される。

(2) 細糸による流向測定 細い針金の先に木綿糸をつけて流向を測定した。図-5にその結果を示す。河床近傍では流向の変動がいちぢろしく、糸による流向測定はかなり不正確なものであるが、それでもA領域とB領域とでは上下方向の流向の増減の様子に明らかな差異が認められる。Perryらは円柱に近く流れの上下方向の流向変化は河床の近く近くを除いて線型であるとしているが、それは本報告で示したA・B領域の区分および渦の存在による流向の増減を無視した結果になつている。

### ③ 結論

実験的事実に基づき、円柱前面の流れはその特性に従って三つの領域に区分される事を示した。A領域は円柱をとりこむ幅2~3cm、高さも同程度のものであり、ここでは水平軸をもつ最大直径2cm程度の渦が発生し、その回転は水路床近傍では円柱から遠ざかる方向である。この領域の流体実質部分は円柱の直上流の限られた部分から供給される。また渦中にあける流体実質部分の回転方向速度成分は一定である。次のB領域はA領域より上流側の河床近傍であり、ここでは渦の直径は約5mmで一定であるが、その軸の方向はかなりばらついてる。この領域の厚さは1cm程度である。次のC領域はAおよびB領域の上側であり、ここでは流れは3次元的である。

参考文献 Perry H.E. and Jouber P.N.; Journal of Fluid Mechanics, vol.22, part 2, p285, 1965.

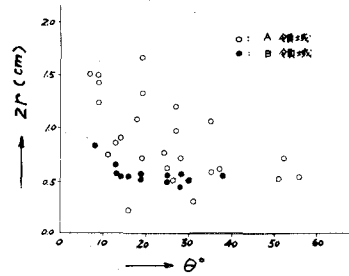


図-4 渦内実質部分の回転直径  
 $2r(\text{cm})$  と円柱軸のまわりの回転角 $\theta(\text{度})$ との関係

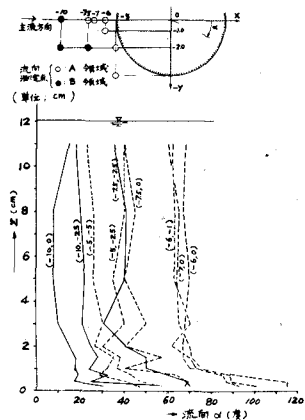


図-5 A領域・B領域における流向変化の比較(括弧内は測定期点のx・y座標を表わす)